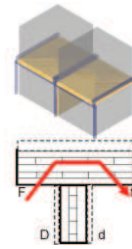


Kopplungsgrößen Stoßtyp 1a_A, Übertragungsweg Ff:

Prüf.Nr.:	Flanke	Trennwand	$\frac{m_{Wand}^2}{m_{Decke}}$
1a_A_02	160 BSP / 60 Splitt / 40 EP1 / 50 ZE	80 BSP	0,23
1a_A_05	160 BSP / 40 EP1 / 50 ZE	2x18 GF / 80 BSP / 2x18 GF	1,73
1a_A_07	160 BSP / 60 Splitt / 40 EP1 / 50 ZE	140 BSP	0,41

Abmessungen
$l_{ij} = 4,3 \text{ m}$
$S_{Dd} = 10,8 \text{ m}^2$
$S_F = 21,5 \text{ m}^2$
$S_I = 20 \text{ m}^2$



1a_A_02					1a_A_05					1a_A_07				
$D_{v,Ff}$ in dB					K_{Ff} in dB									
f in Hz	\bar{x}	σ	\bar{x}	σ	f in Hz	\bar{x}	σ	\bar{x}	σ					
50	6,5	11,3	5,5	7,8	3,1	50	2,3	10,2	2,7	5,0	4,5			
63	7,7	9,8	7,2	8,3	1,4	63	4,5	8,4	4,2	5,7	2,3			
80	8,5	7,9	7,4	7,9	0,5	80	5,8	5,3	5,4	5,5	0,3			
100	8,3	7,5	8,5	8,1	0,5	100	4,8	5,0	5,3	5,1	0,3			
125	10,4	8,3	11,0	9,9	1,4	125	6,6	4,6	8,0	6,4	1,7			
160	7,7	11,1	8,4	9,1	1,8	160	3,3	7,7	5,0	5,3	2,2			
200	9,2	12,0	7,0	9,4	2,5	200	3,4	8,6	2,9	5,0	3,2			
250	9,6	12,9	7,0	9,9	2,9	250	3,1	9,1	0,1	4,1	4,6			
315	8,6	10,6	7,1	8,8	1,7	315	0,9	5,8	-2,2	1,5	4,0			
400	3,4	8,5	3,2	5,0	3,0	400	-5,3	3,7	-6,4	-2,7	5,6			
500	2,2	10,1	0,8	4,4	5,0	500	-5,9	4,9	-7,8	-2,9	6,8			
630	5,1	9,0	5,2	6,4	2,2	630	-2,4	3,2	-2,4	-0,6	3,2			
800	8,4	7,9	8,3	8,2	0,2	800	-1,8	2,4	-0,5	0,1	2,2			
1000	11,5	7,4	12,9	10,6	2,9	1000	0,2	1,9	2,0	1,4	1,0			
1250	13,0	4,2	11,0	9,4	4,6	1250	1,7	-1,2	-0,3	0,1	1,5			
1600	10,1	5,0	13,0	9,4	4,0	1600	-0,5	-0,8	1,4	0,0	1,2			
2000	11,4	4,2	6,8	7,5	3,7	2000	0,6	-1,8	-4,1	-1,8	2,3			
2500	17,5	5,1	9,5	10,7	6,3	2500	6,2	-1,2	-1,8	1,1	4,5			
3150	13,1	4,4	9,0	8,9	4,3	3150	2,2	-2,7	-1,5	-0,7	2,5			
4000	7,8	7,3	9,7	8,2	1,3	4000	-1,9	-0,2	0,4	-0,6	1,2			
5000	9,5	7,4	4,9	7,3	2,3	5000	-1,1	0,2	-4,3	-1,8	2,3			
$D_{v,Ff,n}$	1,1	2,3	0,1	1,2		K_{Ff}	-0,7	4,3	-1,6	0,6				

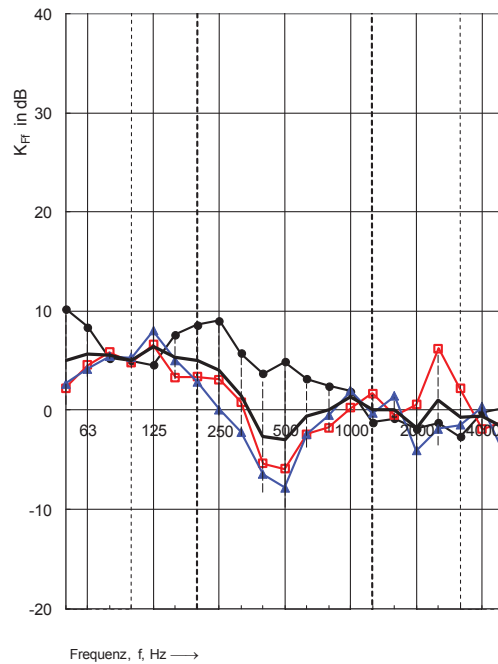
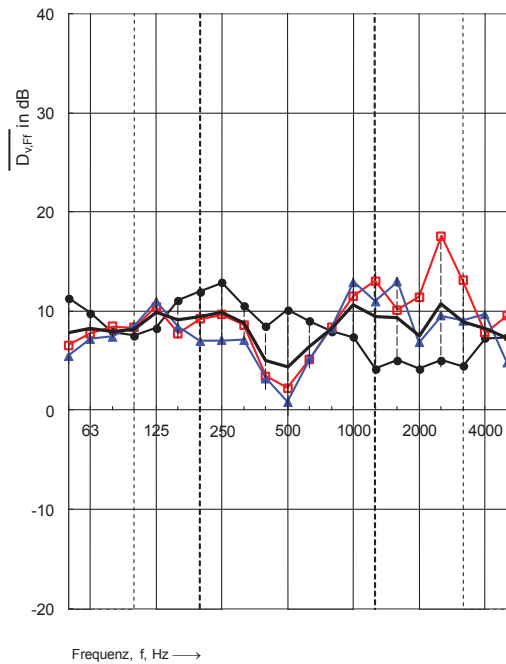
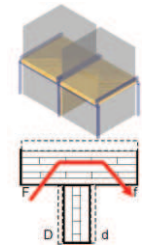


Abbildung 7 $\overline{D}_{v,ij}$, K_{ij} : Horizontaler T-Stoß – BSP Decke durchlaufend, Flanke und Trennteil z.T. beschwert: Messdaten $\overline{D}_{v,Ff}$ mit zugehörigen Messkurven (links), Messdaten K_{Ff} mit zugehörigen Messkurven (rechts)



Gesamt Verlustfaktoren der Stoßbauteile, Stoßtyp 1a_A, Übertragungsweg Ff:

Prüf.Nr.:	Flanke	Trennwand	m^2_{Wand} / m^2_{Decke}	Abmessungen
1a_A_02	160 BSP / 60 Splitt / 40 EP1 / 50 ZE	80 BSP	0,23	$l_{ij} = 4,3 \text{ m}$
1a_A_05	160 BSP / 40 EP1 / 50 ZE	2x18 GF / 80 BSP / 2x18 GF	1,73	$S_{Dd} = 10,8 \text{ m}^2$
1a_A_07	160 BSP / 60 Splitt / 40 EP1 / 50 ZE	140 BSP	0,41	$S_F = 21,5 \text{ m}^2$
				$S_r = 20 \text{ m}^2$



1a_A_02						1a_A_05						1a_A_07					
f in Hz	$\eta_{tot,F}$	\bar{x}	σ	f in Hz	$\eta_{tot,f}$	\bar{x}	σ	f in Hz	$\eta_{tot,f}$	\bar{x}	σ	f in Hz	$\eta_{tot,F}$	\bar{x}	σ		
50	0,118	0,042	0,075	0,078	0,038	50	0,070	0,042	0,060	0,058	0,014	50	0,070	0,042	0,060		
63	0,066	0,039	0,052	0,052	0,013	63	0,054	0,040	0,066	0,054	0,013	63	0,054	0,040	0,066		
80	0,050	0,046	0,045	0,047	0,003	80	0,042	0,048	0,037	0,042	0,006	80	0,042	0,048	0,037		
100	0,056	0,039	0,052	0,049	0,009	100	0,046	0,042	0,043	0,044	0,002	100	0,046	0,042	0,043		
125	0,049	0,055	0,044	0,049	0,005	125	0,049	0,041	0,037	0,042	0,006	125	0,049	0,041	0,037		
160	0,048	0,048	0,043	0,046	0,003	160	0,052	0,033	0,036	0,040	0,010	160	0,052	0,033	0,036		
200	0,056	0,037	0,043	0,045	0,010	200	0,067	0,033	0,041	0,047	0,018	200	0,067	0,033	0,041		
250	0,069	0,036	0,082	0,062	0,024	250	0,060	0,034	0,063	0,053	0,016	250	0,060	0,034	0,063		
315	0,101	0,037	0,132	0,090	0,048	315	0,058	0,040	0,090	0,063	0,025	315	0,058	0,040	0,090		
400	0,126	0,035	0,118	0,093	0,051	400	0,058	0,033	0,094	0,062	0,031	400	0,058	0,033	0,094		
500	0,099	0,033	0,066	0,066	0,033	500	0,044	0,034	0,085	0,055	0,027	500	0,044	0,034	0,085		
630	0,042	0,036	0,041	0,040	0,003	630	0,062	0,033	0,067	0,054	0,018	630	0,062	0,033	0,067		
800	0,074	0,029	0,038	0,047	0,024	800	0,093	0,028	0,099	0,074	0,039	800	0,093	0,028	0,099		
1000	0,080	0,025	0,057	0,054	0,028	1000	0,118	0,026	0,142	0,095	0,061	1000	0,118	0,026	0,142		
1250	0,079	0,022	0,069	0,057	0,030	1250	0,097	0,022	0,112	0,077	0,048	1250	0,097	0,022	0,112		
1600	0,049	0,024	0,061	0,045	0,019	1600	0,088	0,020	0,110	0,072	0,047	1600	0,088	0,020	0,110		
2000	0,052	0,021	0,047	0,040	0,016	2000	0,074	0,019	0,085	0,059	0,035	2000	0,074	0,019	0,085		
2500	0,050	0,018	0,055	0,041	0,020	2500	0,074	0,021	0,073	0,056	0,030	2500	0,074	0,021	0,073		
3150	0,042	0,020	0,036	0,033	0,011	3150	0,059	0,021	0,059	0,046	0,022	3150	0,059	0,021	0,059		
4000	0,023	0,017	0,022	0,021	0,003	4000	0,049	0,023	0,044	0,039	0,014	4000	0,049	0,023	0,044		
5000	0,032	0,016	0,020	0,023	0,008	5000	0,043	0,018	0,036	0,032	0,013	5000	0,043	0,018	0,036		

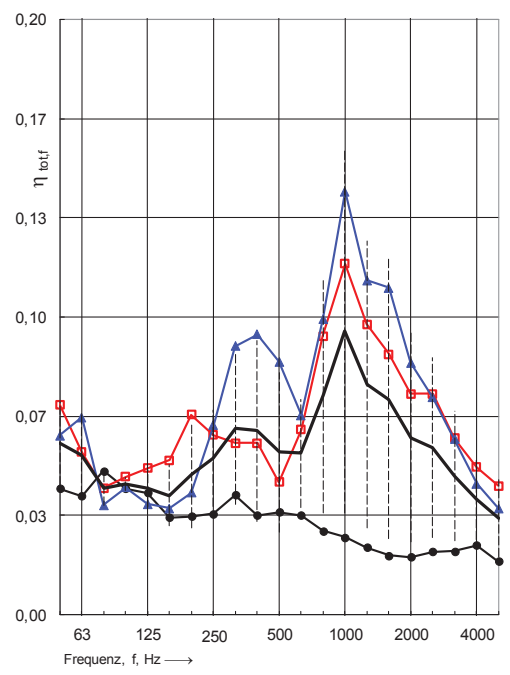
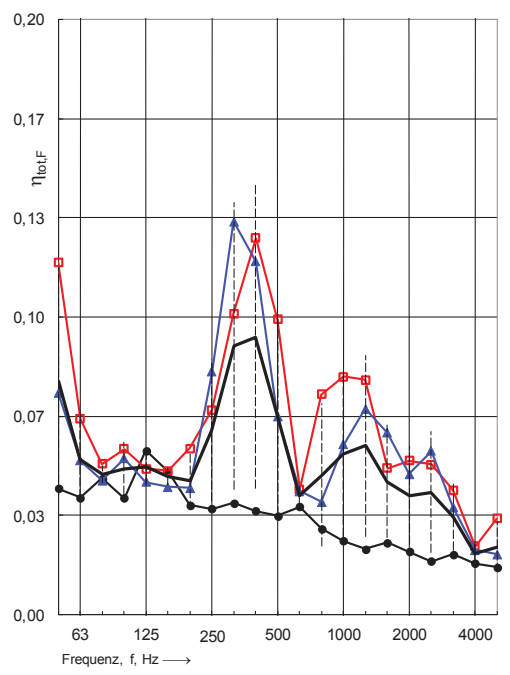


Abbildung 8 η_{tot} : Horizontaler T-Stoß – BSP Decke durchlaufend, Flanke und Trennbauteil z.T. beschwert: Messdaten $\eta_{tot,F}$ mit zugehörigen Messkurven (links), Messdaten $\eta_{tot,f}$ mit zugehörigen Messkurven (rechts)

Kopplungsgrößen Stoßtyp 1a_A, Übertragungsweg Fd:

Prüf.Nr.:	Flanke	Trennwand	$\frac{m^2_{Wand}}{m^2_{Decke}}$
1a_A_02	160 BSP / 60 Splitt / 40 EP1 / 50 ZE	80 BSP	0,23
1a_A_04	160 BSP	12,5 GK / 80 BSP / 12,5 GK	0,8
1a_A_05	160 BSP / 40 EP1 / 50 ZE	2 x 18 GF / 80 BSP / 2 x 18 GF	1,73
1a_A_07	160 BSP / 60 Splitt / 40 EP1 / 50 ZE	140 BSP	0,41
1a_A_08	160 BSP	2 x 18 GF / 140 BSP / 2 x 18 GF	2,15

Abmessungen
$l_{ij} = 4,3 \text{ m}$
$S_{Dd} = 10,8 \text{ m}^2$
$S_F = 21,5 \text{ m}^2$
$S_T = 20 \text{ m}^2$



f in Hz	$D_{v,Fd}$ in dB						\bar{x}	σ	f in Hz	K_{Fd} in dB				\bar{x}	σ
50	14,5	11,9	13,4	10,7	10,7	12,2	1,7	50	12,2	10,1	11,1	8,8	9,4	10,3	1,3
63	17,7	16,6	16,2	12,0	14,5	15,4	2,2	63	15,4	14,8	13,6	10,4	13,6	13,6	1,9
80	15,6	16,2	16,0	9,0	14,8	14,3	3,0	80	15,5	15,1	13,4	7,4	11,7	12,6	3,3
100	16,4	14,6	14,3	12,0	12,3	13,9	1,8	100	14,8	13,9	11,3	10,9	9,1	12,0	2,3
125	15,1	16,9	16,3	13,6	15,8	15,5	1,3	125	12,7	16,1	12,0	11,6	11,5	12,8	1,9
160	19,4	18,3	16,4	12,8	14,8	16,3	2,7	160	16,1	15,7	10,5	9,6	10,3	12,4	3,1
200	20,2	17,6	16,7	13,6	13,4	16,3	2,9	200	16,4	14,5	11,5	11,3	9,2	12,6	2,9
250	20,2	16,7	16,4	14,6	18,2	17,2	2,1	250	15,5	13,0	10,7	9,2	13,2	12,3	2,4
315	19,8	18,0	16,4	15,2	18,1	17,5	1,8	315	13,6	14,1	11,5	8,7	12,3	12,0	2,1
400	18,4	18,3	15,2	14,1	18,0	16,8	2,0	400	11,9	14,2	9,9	7,8	13,3	11,4	2,6
500	18,2	19,2	16,4	12,9	18,0	16,9	2,5	500	11,5	15,2	10,2	6,3	13,2	11,3	3,3
630	15,7	17,7	18,7	13,5	23,3	17,8	3,7	630	9,5	12,9	12,7	8,1	20,1	12,7	4,7
800	14,9	16,2	17,2	11,8	20,9	16,2	3,3	800	8,1	11,5	11,6	5,9	16,1	10,6	3,9
1000	20,8	13,5	18,1	15,5	23,3	18,2	3,9	1000	14,3	9,5	13,0	8,6	18,4	12,8	3,9
1250	22,0	15,5	18,0	15,4	23,7	18,9	3,8	1250	14,2	11,2	13,5	7,9	19,4	13,2	4,2
1600	18,1	18,0	20,2	16,6	26,8	19,9	4,0	1600	10,1	13,2	15,8	9,0	22,9	14,2	5,6
2000	17,9	15,7	22,9	17,9	28,6	20,6	5,2	2000	10,1	11,4	18,4	10,6	26,3	15,4	7,0
2500	19,8	19,9	25,0	21,1	33,2	23,8	5,7	2500	11,6	15,5	19,8	13,5	30,2	18,1	7,4
3150	21,0	17,6	27,2	20,9	30,9	23,5	5,4	3150	13,2	13,2	22,0	13,9	29,2	18,3	7,1
4000	17,7	19,3	26,2	15,2	28,4	21,4	5,7	4000	10,9	15,4	21,5	9,5	24,7	16,4	6,6
5000	15,9	20,6	23,6	12,7	29,3	20,4	6,5	5000	8,5	16,9	19,3	6,9	25,2	15,4	7,6
$D_{v,Fd,n}$	13,4	11,5	11,5	8,6	14,2	11,8		K_{Fd}	12,8	12,9	11,6	8,2	15,0	12,1	

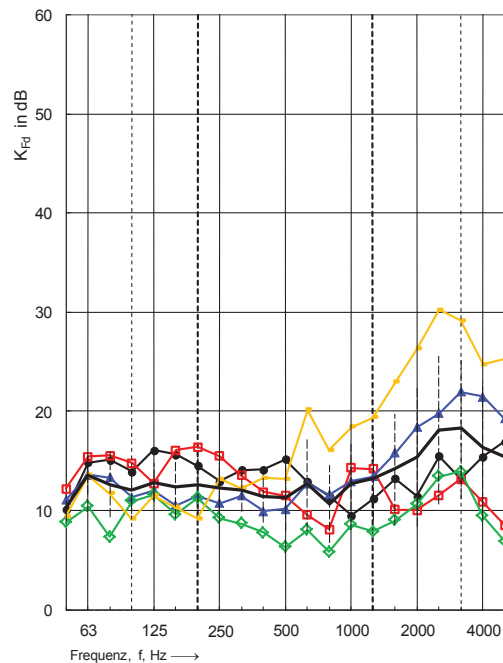
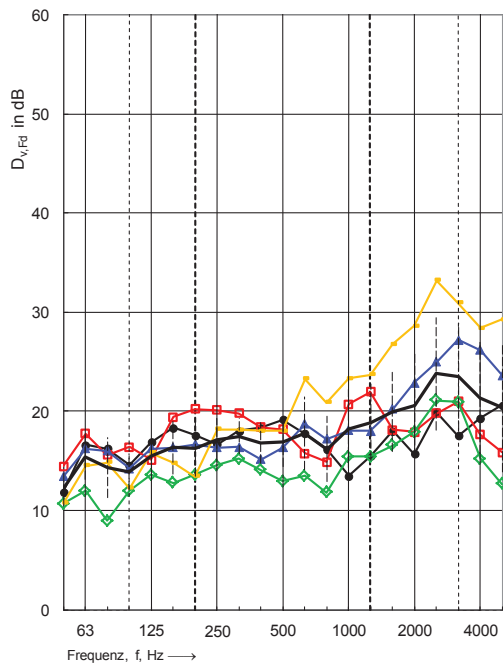


Abbildung 9 $D_{v,ij}$, K_{ij} : Horizontaler T-Stoß – BSP Decke durchlaufend, Flanke und Trennteil z.T. beschwert: Messdaten $D_{v,Fd}$ mit zugehörigen Messkurven (links), Messdaten K_{Fd} mit zugehörigen Messkurven (rechts)

Gesamt Verlustfaktoren der Stoßbauteile, Stoßtyp 1a_A, Übertragungsweg Fd:

Prüf.Nr.:	Flanke	Trennwand	m'_{Wand} / m'_{Decke}
1a_A_02	160 BSP / 60 Splitt / 40 EP1 / 50 ZE	80 BSP	0,23
1a_A_04	160 BSP	12,5 GK / 80 BSP / 12,5 GK	0,8
1a_A_05	160 BSP / 40 EP1 / 50 ZE	2 x 18 GF / 80 BSP / 2 x 18 GF	1,73
1a_A_07	160 BSP / 60 Splitt / 40 EP1 / 50 ZE	140 BSP	0,41
1a_A_08	160 BSP	2 x 18 GF / 140 BSP / 2 x 18 GF	2,15

Abmessungen
$l_{ij} = 4,3 \text{ m}$
$S_{Dd} = 10,8 \text{ m}^2$
$S_F = 21,5 \text{ m}^2$
$S_r = 20 \text{ m}^2$



f in Hz	$\eta_{tot,F}$						$\eta_{tot,d}$								
	\bar{x}	σ	\bar{x}	σ	\bar{x}	σ	\bar{x}	σ	\bar{x}	σ	\bar{x}	σ			
50	0,090	0,081	0,046	0,075	0,046	0,068	0,020	50	0,057	0,055	0,132	0,070	0,080	0,079	0,032
63	0,062	0,061	0,046	0,052	0,026	0,049	0,015	63	0,072	0,057	0,109	0,062	0,090	0,078	0,021
80	0,028	0,052	0,042	0,045	0,042	0,042	0,009	80	0,046	0,038	0,097	0,057	0,120	0,071	0,035
100	0,048	0,035	0,042	0,052	0,045	0,044	0,007	100	0,043	0,037	0,086	0,030	0,091	0,057	0,029
125	0,056	0,037	0,054	0,044	0,047	0,048	0,008	125	0,042	0,029	0,099	0,044	0,118	0,067	0,039
160	0,048	0,060	0,052	0,043	0,044	0,049	0,007	160	0,061	0,034	0,168	0,061	0,106	0,086	0,053
200	0,054	0,071	0,040	0,037	0,042	0,049	0,014	200	0,052	0,028	0,128	0,039	0,081	0,066	0,040
250	0,066	0,069	0,036	0,082	0,037	0,058	0,020	250	0,051	0,030	0,140	0,056	0,105	0,076	0,045
315	0,121	0,064	0,033	0,132	0,037	0,077	0,047	315	0,046	0,029	0,086	0,047	0,123	0,066	0,038
400	0,104	0,063	0,033	0,118	0,027	0,069	0,041	400	0,047	0,026	0,081	0,038	0,082	0,055	0,025
500	0,105	0,047	0,034	0,092	0,021	0,060	0,037	500	0,041	0,026	0,098	0,046	0,088	0,060	0,031
630	0,071	0,056	0,032	0,047	0,022	0,046	0,020	630	0,038	0,025	0,074	0,040	0,030	0,041	0,019
800	0,072	0,047	0,030	0,045	0,023	0,044	0,019	800	0,039	0,022	0,052	0,042	0,048	0,041	0,011
1000	0,058	0,028	0,024	0,057	0,023	0,038	0,018	1000	0,033	0,022	0,042	0,041	0,040	0,036	0,008
1250	0,077	0,030	0,018	0,069	0,018	0,042	0,029	1250	0,036	0,019	0,034	0,036	0,032	0,031	0,007
1600	0,071	0,029	0,018	0,061	0,019	0,039	0,025	1600	0,035	0,019	0,025	0,032	0,019	0,026	0,007
2000	0,065	0,020	0,019	0,047	0,020	0,034	0,021	2000	0,028	0,017	0,020	0,030	0,007	0,020	0,009
2500	0,057	0,016	0,021	0,055	0,021	0,034	0,020	2500	0,031	0,018	0,020	0,024	0,007	0,020	0,009
3150	0,046	0,012	0,019	0,036	0,013	0,025	0,015	3150	0,024	0,018	0,018	0,022	0,005	0,017	0,007
4000	0,023	0,013	0,012	0,022	0,012	0,016	0,006	4000	0,024	0,011	0,017	0,016	0,011	0,016	0,005
5000	0,027	0,012	0,009	0,020	0,009	0,016	0,008	5000	0,021	0,009	0,016	0,014	0,014	0,015	0,005

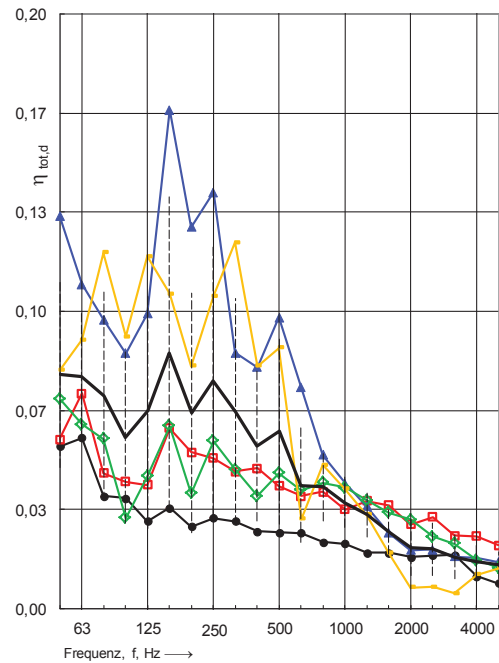
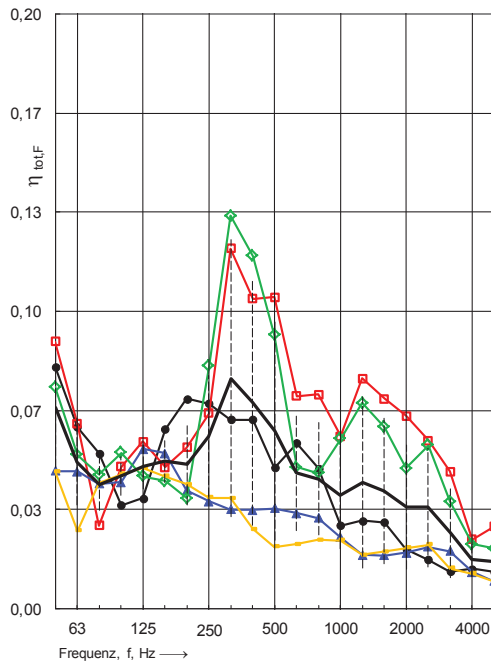
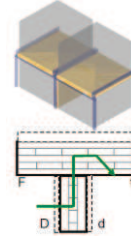


Abbildung 10 η_{tot} : Horizontaler T-Stoß – BSP Decke durchlaufend, Flanke und Trennbauteil z.T. beschwert: Messdaten $\eta_{tot,F}$ mit zugehörigen Messkurven (links), Messdaten $\eta_{tot,d}$ mit zugehörigen Messkurven (rechts)

Kopplungsgrößen Stoßtyp 1a_A, Übertragungsweg Df:

Prüf.Nr.:	Flanke	Trennwand	$\frac{m^2_{Wand}}{m^2_{Decke}}$	Abmessungen
1a_A_02	160 BSP / 60 Splitt / 40 EP1 / 50 ZE	80 BSP	0,23	$l_{ij} = 4,3 \text{ m}$
1a_A_04	160 BSP	12,5 GK / 80 BSP / 12,5 GK	0,8	$S_{Dd} = 10,8 \text{ m}^2$
1a_A_05	160 BSP / 40 EP1 / 50 ZE	2 x 18 GF / 80 BSP / 2 x 18 GF	1,73	$S_F = 21,5 \text{ m}^2$
1a_A_08	160 BSP	2 x 18 GF / 140 BSP / 2 x 18 GF	2,15	$S_I = 20 \text{ m}^2$



f in Hz	$D_{v,Df}$ in dB				\bar{x}	σ	f in Hz	K_{Df} in dB				\bar{x}	σ
50	15,0	12,5	15,7	11,9	13,7	1,9	50	12,6	11,4	13,1	10,1	11,8	1,4
63	16,3	14,4	16,4	12,0	14,8	2,1	63	14,6	13,4	12,6	10,3	12,7	1,8
80	10,6	17,0	13,2	14,9	13,9	2,7	80	10,5	16,3	9,1	12,9	12,2	3,2
100	12,8	12,1	12,8	12,0	12,4	0,4	100	11,8	12,0	10,0	9,3	10,8	1,3
125	12,9	15,7	13,7	14,7	14,2	1,2	125	11,0	14,6	9,8	10,1	11,4	2,2
160	14,9	17,9	16,0	15,3	16,0	1,3	160	11,7	15,4	11,5	10,7	12,3	2,1
200	16,9	17,2	18,0	16,1	17,0	0,8	200	12,7	14,4	13,6	11,6	13,1	1,2
250	19,0	15,8	17,5	17,0	17,3	1,3	250	15,2	12,5	12,8	11,5	13,0	1,6
315	18,6	16,0	17,3	17,1	17,2	1,1	315	15,0	12,6	12,8	11,8	13,0	1,4
400	15,8	17,6	15,5	16,8	16,4	1,0	400	11,5	13,6	10,6	11,8	11,9	1,3
500	18,0	17,7	17,0	17,4	17,5	0,5	500	13,1	14,0	12,0	12,6	12,9	0,9
630	19,5	18,9	18,6	21,3	19,6	1,2	630	13,7	14,4	13,3	16,2	14,4	1,3
800	21,9	19,1	20,2	20,8	20,5	1,2	800	15,2	14,3	14,7	15,8	15,0	0,7
1000	19,6	15,4	20,1	18,9	18,5	2,1	1000	12,0	12,0	15,0	13,3	13,1	1,4
1250	21,5	18,4	19,3	22,0	20,3	1,7	1250	13,4	14,6	14,3	16,7	14,7	1,4
1600	20,1	19,5	20,1	26,0	21,4	3,1	1600	11,5	14,8	15,3	21,1	15,7	4,0
2000	22,3	18,3	21,1	25,8	21,9	3,1	2000	14,1	14,0	16,1	19,9	16,0	2,8
2500	18,5	21,3	22,2	26,1	22,0	3,2	2500	10,1	17,3	17,0	20,3	16,2	4,3
3150	18,2	21,6	22,3	27,1	22,3	3,7	3150	10,0	17,4	16,8	21,3	16,4	4,7
4000	20,5	23,5	31,2	30,0	26,3	5,2	4000	12,9	19,1	26,7	24,4	20,8	6,2
5000	20,0	23,9	30,7	32,9	26,9	6,0	5000	11,9	20,6	26,0	27,1	21,4	6,9
$D_{v,Df,n}$	13,6	12,0	12,8	13,3	12,9		K_{Df}	13,5	13,6	13,2	13,5	13,5	

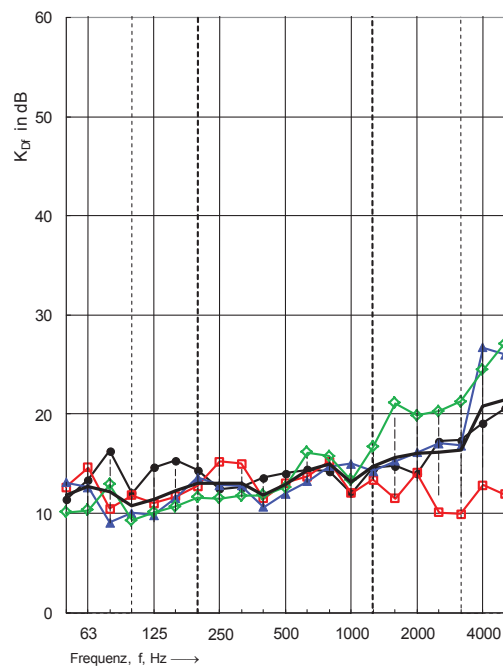
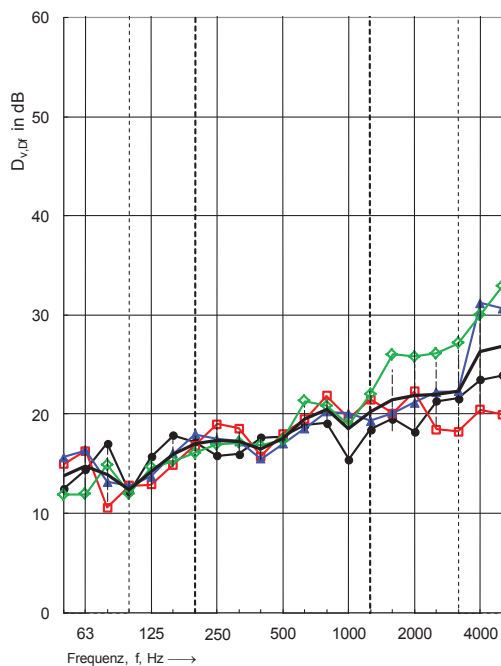


Abbildung 11 $D_{v,ij}$, K_{ij} : Horizontaler T-Stoß – BSP Decke durchlaufend, Flanke und Trennbauteil z.T. beschwert: Messdaten $D_{v,Df}$ mit zugehörigen Messkurven (links), Messdaten K_{Df} mit zugehörigen Messkurven (rechts)



Gesamt Verlustfaktoren der Stoßbauteile, Stoßtyp 1a_A, Übertragungsweg Df:

Prüf.Nr.:	Flanke	Trennwand	m^2_{Wand} / m^2_{Decke}	Abmessungen
1a_A_02	160 BSP / 60 Splitt / 40 EP1 / 50 ZE	80 BSP	0,23	$l_{ij} = 4,3 \text{ m}$
1a_A_04	160 BSP	12,5 GK / 80 BSP/ 12,5 GK	0,8	$S_{Dd} = 10,8 \text{ m}^2$
1a_A_05	160 BSP/ 40 EP1 / 50 ZE	2 x 18 GF / 80 BSP/ 2 x 18 GF	1,73	$S_F = 21,5 \text{ m}^2$
1a_A_08	160 BSP	2 x 18 GF / 140 BSP/ 2 x 18 GF	2,15	$S_r = 20 \text{ m}^2$

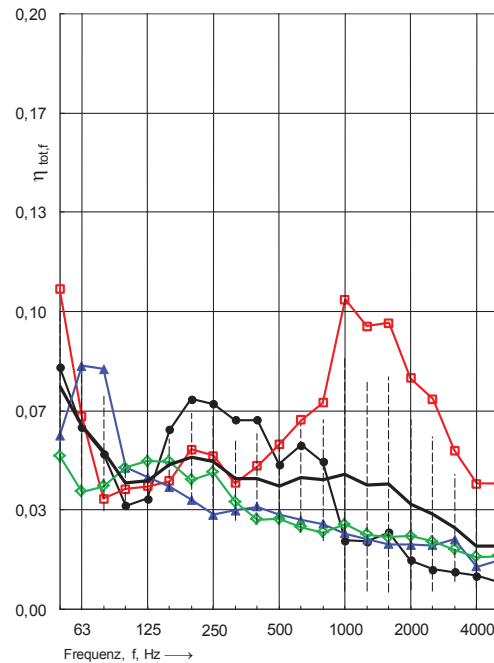
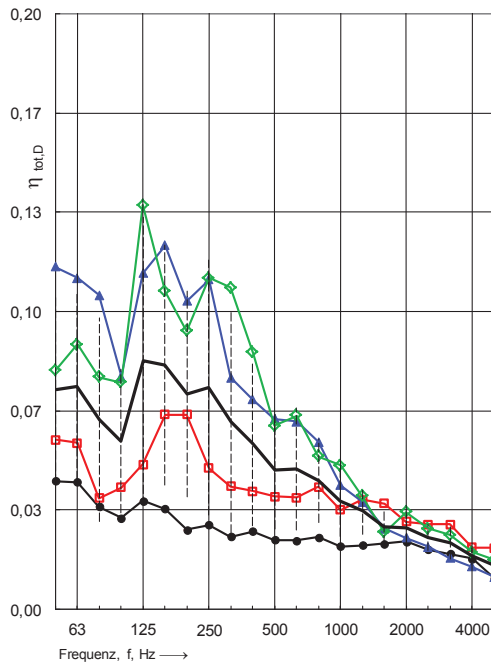
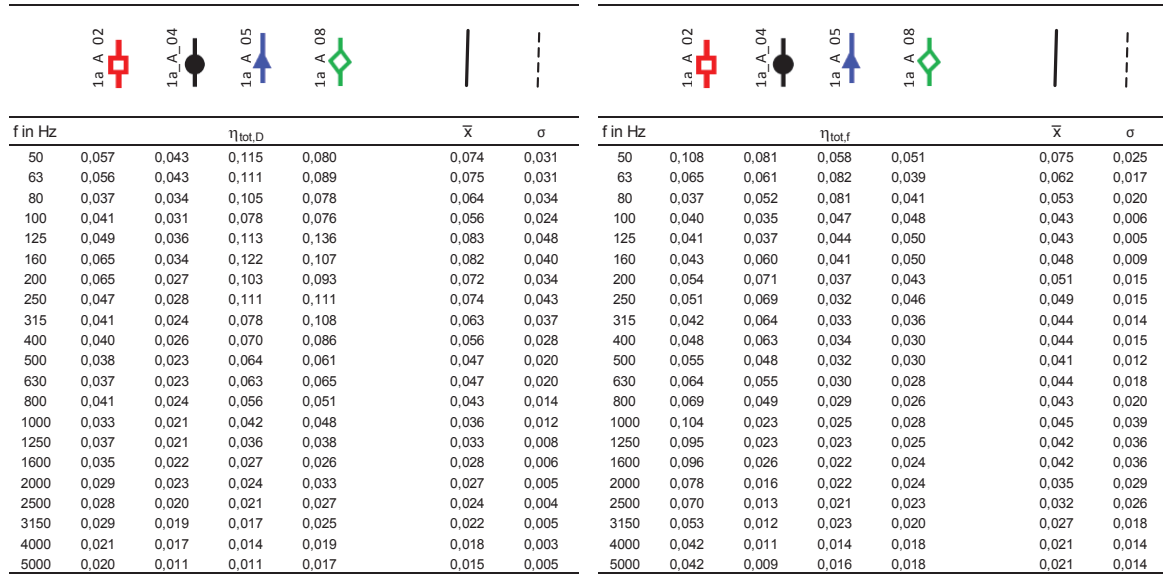
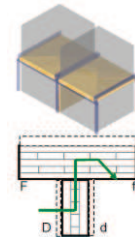


Abbildung 12 η_{tot} : Horizontaler T-Stoß – BSP Decke durchlaufend, Flanke und Trennbauteil z.T. beschwert: Messdaten $\eta_{tot,D}$ mit zugehörigen Messkurven (links), Messdaten $\eta_{tot,f}$ mit zugehörigen Messkurven (rechts)